

Студент 7 курса
моторостроительного
факультета ХАИ
Гринблат В.

Расчет болтовых соединений
на усталость.

Г Общие замечания о методиках
усталостных расчетов

При усталостном расчете, как и в случае расчета на статическую прочность, нам необходимо знать разрушающее напряжение или усилие.

Для нахождения разрушающего напряжения или усилия по предлагаемым обычно методам расчета проводят (на диаграммах Смита, Хэя и т.п.) луч из начала координат через точку, изображающую нормальное рабочее состояние детали. Точка пересечения луча с кривой предельной прочности дает искомое напряжение. Такое построение по существу означает, что асимметрия цикла

$$\gamma = \frac{\sigma_{min}}{\sigma_{max}}$$

принята неизменной при изменении напряженного состояния детали.

Этот метод может применяться,

если постоянной и переменной составляющие цикла напряжений изменяются пропорционально. В противном случае асимметрия не будет постоянной при изменении напряженного состояния детали. Примером такого случая может служить нагружение детали несколькими независимыми друг от друга силовыми воздействиями. Асимметрия цикла в этом случае будет изменяться с изменением напряженного состояния детали по некоторому закону, связанному с законом изменения силовых воздействий.

Нами рассмотрен расчет болтовых соединений на усталость как один из случаев расчета при непостоянной асимметрии цикла.

Сравнение предлагаемого метода с расчетом, например, по Серенсену (I) дает любопытные результаты.

II. Усилия и напряжения в болте при переменном нагружении

Если выбранная заменка обеспечивает плотность болтового соединения, то имеем:

$$P_0 = P_3 + P_{\text{дн.}} \cdot \frac{c_1}{c_1 + c_2}$$

Здесь: P_0 - усилие в болте

P_3 - усилие предварительной затяжки

$P_{\text{вн}}$ - внешнее усилие, действующее на болт

C_1 - жесткость болта

C_2 - жесткость смягчающих элементов.

При изменении внешнего усилия за один цикл от XD до D , принимая $X < 1$, получаем следующие составляющие усилия в болте:

$$P_{\max} = P_3 + P_0 \dots \dots \dots (2)$$

$$P_{\min} = P_3 + x P_0,$$

$$\text{зде } x = \frac{C_1}{C_1 + C_2} \dots \dots \dots (2-a)$$

Отсюда:

$$P_m = \frac{P_{\max} + P_{\min}}{2} = P_3 + \frac{x+1}{2} P_0 \dots \dots (3)$$

Сравнивая уравнения (2) и (3), получаем:

$$P_{\max} = \frac{2}{x+1} P_m + \frac{x-1}{x+1} P_3$$

или, переходя к напряжениям:

$$\sigma_{\max} = \frac{2\gamma}{x+1} \sigma_m + \frac{x-1}{x+1} \sigma_3 \dots \dots (4)$$

Величину P мы будем считать существенно-положительной, тогда величина x будет определять направление минимума усилия (то при растягивающем усилии) и его асимметрию.

При дальнейшем расчете мы принимаем,

Что осимметрия внешнего усилия постоянна

Переход соединения из состояния нормальной работы к состоянию разрушения будет происходить вследствие увеличения модуля R усилия, прием напряжения в болте при этом будут следовать уравнению (4) до тех пор, пока они не сделаются равными разрушающим. Согласное решение уравнения (4) и уравнения, связывающие разрушающие напряжения, позволят определить последние и подойти к оценке прочности болтового соединения. Расчет болты более общи, если бы мы приняли от ХР до УР.

Изложенный метод легко распространяется и на этот случай. Однако он имеет значительно меньшее практическое значение, чем рассмотренный [ч-1].

III Диаграммы предельных напряжений при расчете болта.

Для того, чтобы оценивать прочность болтового соединения, надо иметь кроме уравнения (4), уравнение предельных напряжений. Следуя И. Я. Виргеру напишем его в виде:

$$\sigma_{\text{так}} = \sigma_s + \alpha \cdot \sigma_m \quad \dots \dots \dots \quad (5)$$

где α - угловой коэффициент прямой (5).

Если известна характеристика пульсирующего цикла материала, то можно принять:

$$\alpha = \frac{2(\sigma_0 - \sigma_{-1})}{\sigma_0} \quad \dots \dots \dots \quad (6)$$

Если предположить, что прямая (5) проходит через точку статического разрушения, то:

$$\alpha = \frac{\sigma_0 - \sigma_{-1}}{\sigma_0} \quad \dots \dots \dots \quad (7)$$

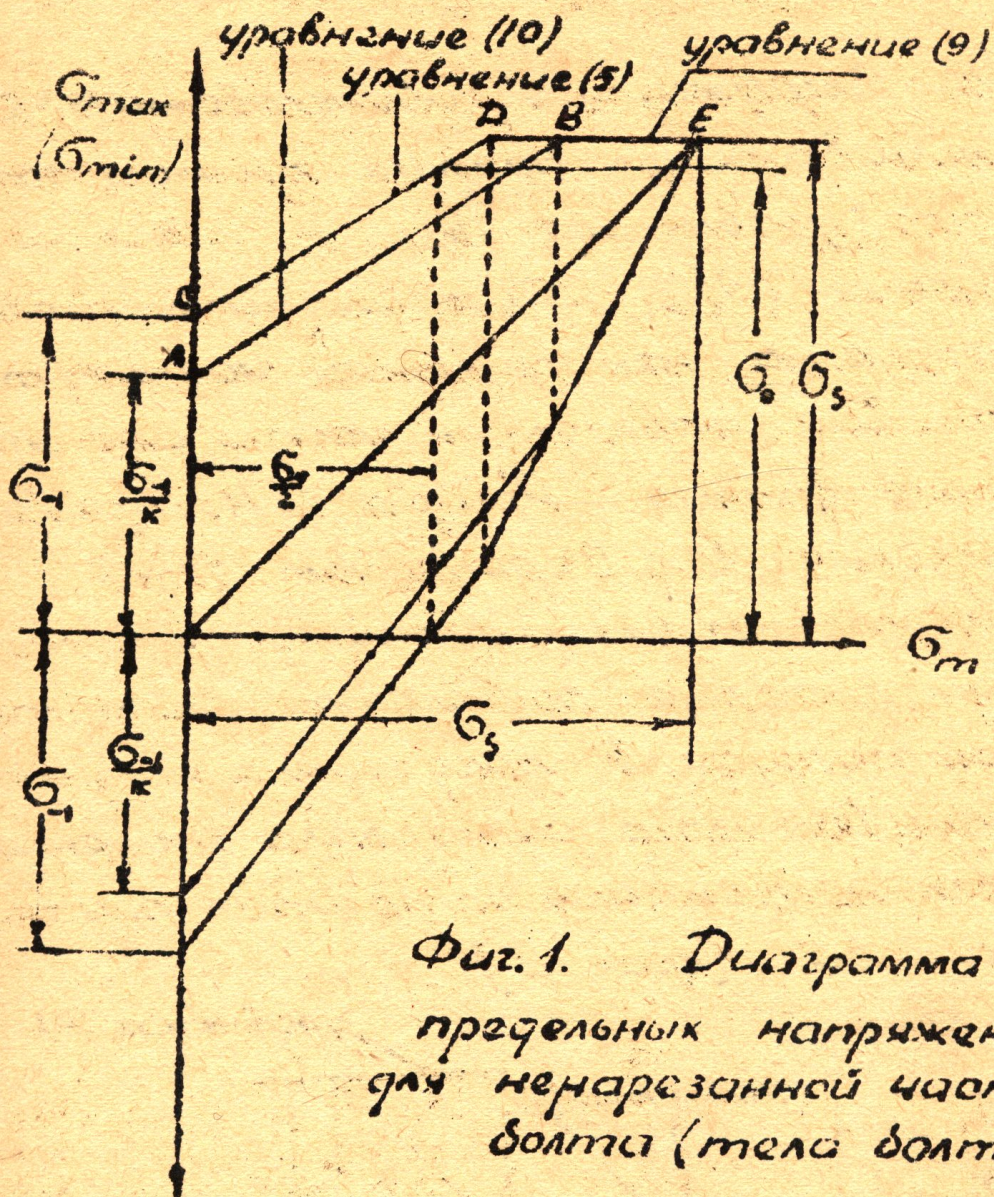
При прохождении прямой через точку, характеризующую неопустимые пластические деформации, получим:

$$\alpha = \frac{\sigma_s - \sigma_{-1}}{\sigma_s} \quad \dots \dots \dots \quad (8)$$

Мы будем пользоваться уравнением (5), ограничивая наибольшие напряжения условием (фиг. 1):

$$\sigma_{\text{так}} = \sigma_s \quad \dots \dots \dots \quad (9)$$

Учитем концентрацию напряжений. Для сокращения мы будем называть "коэффициентом концентрации напряжений" величину, учитывающую понижение усталостной прочности при симметричном нагружении вследствие собственно-концентрации напряжений;



Фиг. 1. Диаграмма предельных напряжений для ненарезанной части болта (тела болта).

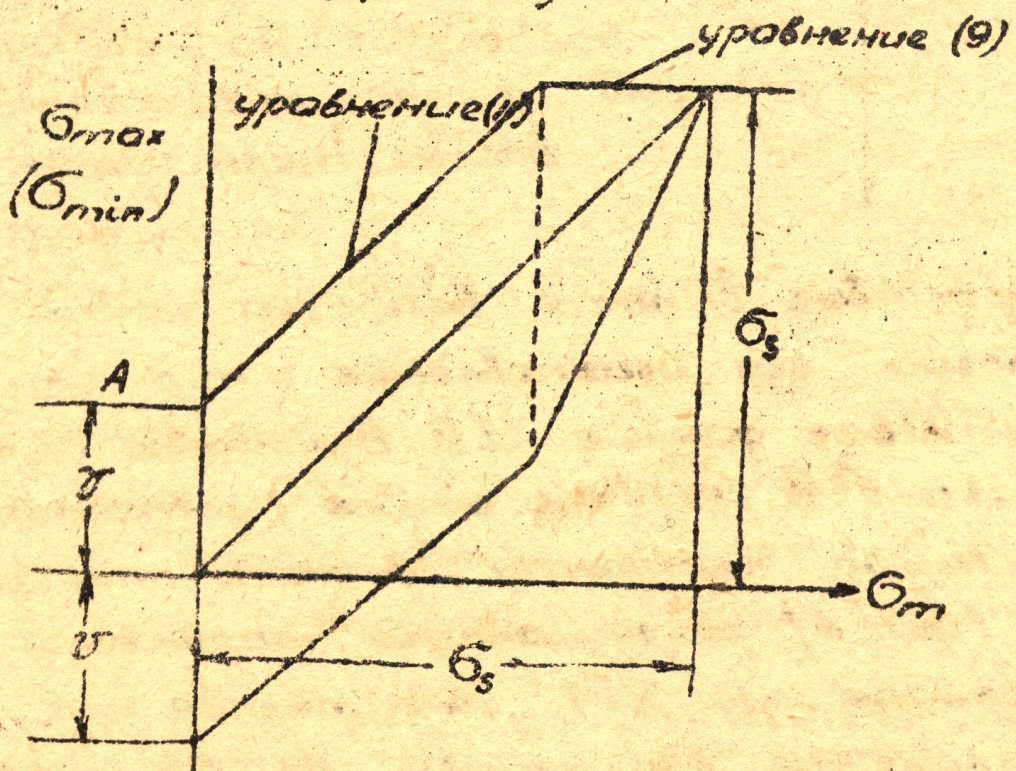
Всесоединяющие влияния величины болта, технологии его изготовления и т. п.

Учитывая данные И. В. Водзюкова (2) и Уинкса Р. В. (3), мы можем с достаточной степенью точности принять, что прямая CD (фиг. 1) разрушающих напряжений, построенная при $K=1$, смещается при $K \neq 1$ в положение AB, причем $AB \parallel CD$ и AB отсекает на оси ординат отрезок $\frac{\sigma_1}{K}$. Тогда уравнение предельных напряжений будет даваться формулой:

$$\sigma_{max} = \alpha_1 \sigma_n + \frac{\sigma_u}{k} \quad \dots \dots \dots \quad (10)$$

где α_1 выражается равенствами (6), (7), (8). Ограничивающую прямую примем попрежнему по уравнению (9).

Уравнения (9) и (10) применимы только для расчета ненарезанной части (тела) болта. Для нарезанной части имеются опытные данные Ротр'a и Нетрел'я (3), приводимые С. В. Серенсеном (1, 4), С. В. Подзоловым (2) и многими другими авторами, которые позволяют считать, что амплитуда σ предельных напряжений для большого интервала значений среднего напряжения остается почти постоянной (фиг. 2).



Фиг. 2 Диаграмма предельных напряжений для нарезанной части болта.

Примем диаграмму для нарезанной части по фиг. 2, хотя экспериментальные данные Ромба и Нетрелля вызывают некоторые сомнения.

В этом случае вместо уравнения (10) мы будем применять уравнение:

$$\sigma_{\text{так}} = \sigma_m + \gamma \quad \dots \dots \dots \quad (11)$$

и, записавая уравнения (9), (10) и (11) в одинаковой форме, получим:

$$\sigma_{\text{так}} = a_1 \sigma_m + b, \quad \dots \dots \dots \quad (12)$$

При расчете цилиндрической ненапряженной части болта a_1 задается формулами (6), (7) и (8).

При расчете нарезанной части болта $a_1=1$, $b=\gamma$. Если пересечение прямых (4) и (12) происходит на участке ВЕ (фиг 1 и 2), то для гладкой цилиндрической и для нарезанной части болта $a_1=0$, $b_1=b_2$.

При расчетах следует помнить, что предел текучести для нарезанной части болта выше, чем для гладкой цилиндрической части спаркия.

IV Различные типы разрушения болтов.

Рассмотрим различные случаи разрушения болтового соединения.

1. Разрушение болта происходит без потери яркости. Для соединений этого рода справедливо выведенное ранее уравнение (4) напряжений в болте.

2. Разрушение происходит после потери плотности от действия усиля Рхара. Плотность от усилля к разр. сохраняется.

Выведем уравнение напряжений волны для этого случая:

$$P_{min} = P_3 + x P_a$$

$$P_{max} = P \quad \dots \dots \dots \dots \dots \dots \quad (13)$$

Из уравнений (13) и (14) получаем:

$$P_{max} = \frac{2}{\kappa\alpha+1} P_m - \frac{1}{\kappa\alpha+1} P_3,$$

ши, зарядив то же самое в напряжении:

$$G_{max} = \frac{2}{\alpha + 1} G_m - \frac{1}{\alpha + 1} G_0 \quad \dots \quad (15)$$

3. Разрушение болта происходит по-
ле потери гибкости как от действия
усилия $\sigma_{\text{разр.}}$, так и от усилия $\sigma_{\text{разр.}}$,
причем $X > 0$.

Umoem:

$$P_{min} = x P$$

Для напряжений получаем выражение:

$$\sigma_{max} = \frac{2}{\kappa+1} \rho_m \dots \dots \dots \dots \dots \dots \quad (13)$$

4. В момент разрушения - потеря плотности от общей силы $xP_{разр}$ и $P_{разр}$ при $x < 0$

$$P_{min} = 0$$

$$P_{max} = P \quad \dots \dots \dots \quad (18)$$

$$\Omega_{max} = 26_m \quad \dots \dots \dots \quad (19)$$

5. При разрушении - потеря плотности от усилия $xP_{разр}$ при $x < 0$. Плотность от усилия $P_{разр}$ сохраняется.

$$P_{min} = 0$$

$$P_{max} = P_3 + P_a \quad \dots \dots \dots \quad (20)$$

$$\Omega_{max} = 26_m \quad \dots \dots \dots \quad (21)$$

Общим видом уравнения напряжений в балке следуют считать уравнение:

$$\Omega_{max} = M\bar{6}_m - N\bar{6}_n \quad \dots \dots \dots \quad (22)$$

При этом для I-го рода соединений:

$$M = \frac{2}{x+1}, \quad N = -\frac{1-x}{x+1} \quad \dots \dots \dots \quad (22a)$$

для 2-го рода:

$$M = \frac{2}{x^2+1}, \quad N = \frac{1}{x^2+1} \quad \dots \dots \dots \quad (22b)$$

для 3-го рода:

$$M = \frac{2}{x+1}, \quad N = 0 \quad \dots \dots \dots \quad (22c)$$

для 4-го и 5-го родов:

$$M = 2, \quad N = 0 \quad \dots \dots \dots \quad (22d)$$

V Запас прочности по напряже- ниям и его определение для болтового соединения.

Запас прочности по напряжениям обычно определяют как отношение разрушающего напряжения к напряжению рабочему, т.е. к напряжению, возникающему при нормальной работе детали.

Этот основной запас прочности корректируют затем коэффициентами, учитывающими возможные неточности в определении напряжений, неточности в оценке условий работы, монтажа, изготавления и пр. детали.

Обычно известны пределы возможного изменения внешних усилий, действующих на деталь. Если кроме внешних усилий в детали действуют внутренние усилия, не зависящие от внешних, то напряжения в детали не пропорциональны внешнему усилию.

Поэтому мы не можем обычно заранее, без расчетов, определить пределы изменения напряжений, т.е. не можем назначить требуемого запаса прочности по напряжениям. Запас прочности по напряжениям становится, таким образом, отвлеченным расчетным коэффициентом, который назначается на основании дан-

Ниже эксплуатации достаточна большого количества деталей, узлов, машин.

Достаточность назначенного запаса прочности по напряжениям расчетом обычно не проверяется, т.к. при назначении его обычно не учитывают такого важного фактора, как возможность перегрузки детали при эксплуатации.

Указав эти существенные недостатки назначение запаса прочности по напряжениям, перейдем к определению его в нашем примере расчета болтовых соединений на усталость. Для этого необходимо совместно решить уравнение (22) напряжений в болте и уравнение (12) предельных напряжений, найти из них разрушающее максимальное напряжение цикла и сравнить его с рабочим.

Из уравнений (12) и (22) получаем:

$$\sigma_{\max} = \frac{N_a b_3 + M_b}{(M_c - Q_1)} \dots \dots \dots (23)$$

Рабочее максимальное напряжение получим, переходя в формуле (2) от усилий к напряжениям (при этом соединение в рабочем состоянии предполагается безусловно плотным):

$$\sigma_{\max, \text{раб}} = \sigma_3 + \sigma_a \dots \dots \dots (24)$$

т.е.

$$\sigma = \frac{\sigma_{\max}}{F}$$

Формула для запаса прочности по напряжениям получает, таким образом, вид:

$$\eta_0 = \frac{N_a b_3 + M_b}{(M-a)(b_3 - b_a)} \dots \dots \dots (25)$$

Коэффициенты M и N характеризуют род соединения по типу разрушения и даются формулами (22а), (22б), (22в) и (22г).

Коэффициенты a , и b , определяют кривую предельной прочности и должны быть приняты такими же, как в формуле (12).

Коэффициент η дается формулой (2а). Величина запаса прочности по напряжениям существенно зависит от того, пересекаются кривые (12) и (22) на участке АВ или на участке ВВ диаграммы предельных напряжений (см. фиг. 12). Чтобы определить запас прочности, его надо просчитать исходя из обоих типов пересечения прямых (12) и (22) и принять меньшую величину.

Род соединения по характеру его разрушения (см. раздел IV статьи) устанавливается легко, если пользоваться запасом прочности по усилиям. Методика расчетов с запасами прочности по напряжениям сделать это достаточно просто не позволяет.

Конкретизируем выведенные формулы на примере расчета болтового соединения, когда внешнее растягивающее усилие изменяется от 0 до P . В этом случае $X=0$ и соединение может быть или I-го рода (плотно разрушающееся) или 2-го рода (неплотно разрушающееся). Формулы для запаса прочности по напряжениям в обоих этих случаях совпадают, т.к. при $X=0$ по формулам (22a) и (22b):

$$M = \frac{2}{x+1} = \frac{2}{xa+1} = 2$$

$$\Delta F = \frac{1-x}{x+1} = \frac{1}{xa+1} = 0$$

Запас прочности по напряжениям для ненарезанной части болта получим из формулы (25), принимая α_s по формулам (6), (7) или (8) и

$$\beta_s = \frac{\tilde{b}_s - 1}{K}$$

$$n_b = \frac{\alpha_s \tilde{b}_s + \frac{2\tilde{b}_s}{K}}{(2-\alpha_s)(\tilde{b}_s + \tilde{b}_a)} \dots \dots \dots (26)$$

Если пересечение прямых (12) и (22) происходит на участке BB' (фиг. 1), то $\alpha_s = 0$, $\beta_s = \tilde{b}_s$, т.е. :

$$n_b = \frac{\tilde{b}_s}{\tilde{b}_s + \tilde{b}_a} \dots \dots \dots (26a)$$

При вычислении запаса прочности

мы определим его из обеих формул (26) и (27), после чего примем меньший по величине. Запас прочности по напряжениям для нарезанной части болта получим по формуле (25), принимая $a=1$, $b=U$ при пересечении прямых (12) и (22) на участке АВ и $a=0$, $b_1=b_3$ при пересечении их на участке ВЕ.

$$n_b = \frac{b_3 + 2U}{b_3 + b_a} \quad (\text{участок АВ}) \dots (27)$$

$$n_b = \frac{b_3}{b_3 + b_a} \quad (\text{участок ВЕ}) \dots (27a)$$

При расчетах из этих двух запасов прочности опять будем принимать меньший.

С. В. Серенсен рекомендует (в чином написании) формулу (27) для расчета как ненарезанной, так и нарезанной части болта, хотя в первом случае она безусловно применена быть не может. Результаты пересчета примеров, данных С. В. Серенсеном, представлены в таблице I; численные данные о рассчитанных болтах см. таблицу 2.

Madressa I

W. B. Godwin's and C. B. Deacon's
varieties remain unrepresented.

	0	1	2	3	4	5	6
1	Haplosporidium 40cm ²	(26), (6), (25), (7), (26), (8), (27), (24)					
2	Haplosporidium 40cm ²	116	115	125	116	115	
3	Haplosporidium 40cm ²	2,14	—	—	—	2,14	
4	Ceratium 40cm ²	4,10	4,80	4,408	3,81	—	
5	" "	3,40	3,78	3,5	2,98	—	
6	Haplosporidium 40cm ²	1,98	—	—	—	1,98	
7	" "	1,42	—	—	—	1,42	

Таблица 2

Численные данные к примерам расчета
болтов С. В. Сереноесна

Рассчитываемый элемент болта	Нарез. часть	Сеч. под галтель и стопоржня	Нарезанная часть болта.		
№ примера	1	2	3	4	5
материал	ст 35	ст 35	ст 35	ст 35 5/40	сталь 38
σ_s кг/мм ²	28	28	28	75	80
σ_u кг/мм ²	19	19	19	28	33
σ_3 кг/мм ²	2,81	3,66	3,66	4,25	6,25
P_{kz}	1020	1020	1020	370	3688
a	0,19	0,19	0,19	0,4	0,416
d	1,4	1,4	1,4	1,5	1,4
B	0,15	0,15	0,15	0,15	0,15
K	4,8	1,4	1,8	4,2	5,7
d/d_i	1,18	1,18	1,18	1,27	1,11
t_3	19	19	19	39	44
$F \text{ см}^2$	4,09	3,11	3,14	0,784	4,63
тип резьбы	метрическая	—	—	Витборта	метрическая

Примечание: d — наружный диам. резьбы.

d_i — внутренний диам. резьбы.

VI Запас прочности по внешнему усилию

Запасом прочности по внешнему усилию называть отношение разрушающего внешнего усилия к нормальному рабочему. Вместо разрушающего усилия может быть иногда взято усилие, нарушающее в определенной степени работу детали. Не зная требующегося запаса прочности по напряжениям, мы непосредственно из условий работы в каждом конкретном случае можем оценить, во сколько раз вероятно увеличение действующих на деталь внешних усилий, иначе говоря, сразу, без расчетов имеем предвидящийся запас прочности по усилиям.

Запас прочности по напряжениям в случае расчета болтовых соединений ясно неполно характеризует прочность. Обратимся, например, к уравнениям (19) и (27). Работа соединений 4-го рода принципиально отлична от работы соединений 5-го рода. Формулы запаса прочности по напряжениям этого не покажут, т.к. уравнения (19) и (21) напряженей в болте одинаковы. Однако, для разрушения болта в этих двух случаях необходимы различные величины внешнего усилия, т.е. запасы прочности различны для типов 4 и 5.

Уравнение (26), (26а), (27а), далее, спро-
ведены и для типа I и для типа 2
болтовых соединений - картина аналогич-
на предыдущей.

Запас прочности по напряжениям не от-
ражает специфики нагрузления, а, следо-
вательно, и прочности соединения.

Определим запас прочности по внеш-
ним усилиям для болтовых соединений.

Максимальное разрушающее напряже-
ние дается формулой (23) для всех видов
соединений.

Для 4-го и 5-го видов разрушающее
усиление $P_{разр}$ находится совместным реше-
нием уравнения (23) и уравнения:

$$\sigma_{\max,2} \cdot F = P_3 + P_{разр} \cdot a ,$$

которое получено из формул (20) и (2).
Получаем:

$$P_{разр} = \frac{[(N+1)a_1 - M]\sigma_3 + M_e}{\frac{a}{F}(M-a_1)}$$

Сравнивая $P_{разр}$ с $P_{раз}$, получаем:

$$\eta_p = \frac{P_{разр}}{P_{раз}} = \frac{[(N+1)a_1 - M]\sigma_3 + M_e}{\frac{a}{F}(M-a_1)}$$

и окончательно:

$$\eta_p = \frac{[(N+1)a_1 - M]\sigma_3 + M_e}{a\sigma(M-a_1)} \dots \dots \dots (28)$$

$$\text{зде } \bar{\sigma} = \frac{P_{\text{раб}}}{F}, \quad a = \frac{c_1}{c_1 + c_2}$$

Величины M и N берутся в зависимости от вида соединения (таблицы 5-а) по формулам (22-а) или (22 γ).

Значения a , и b , берутся также, как в формуле (12).

Для 2-го, 3-го, 4-го видов болтовых соединений величина разрушающего усилия находится совместным решением уравнений (23), (13), (16) или (18), которое можно представить в виде:

$$P_{\text{разр.}} = \bar{\sigma}_{\text{макс.}} \cdot F$$

Таким образом получаем:

$$P_{\text{разр.}} = f \frac{N_a, \bar{\sigma}_3 + M_b}{M - a},$$

Откуда, сравнивая $P_{\text{разр.}}$ с $P_{\text{раб.}}$ находим запас прочности по усилиям:

$$n_p = \frac{N_a, \bar{\sigma}_3 + M_b}{\bar{\sigma} (M - a)} \dots \dots \dots \quad (29)$$

Здесь величины M и N берутся в зависимости от вида соединения по формулам (22 δ), (22 γ) или (22 ε), величины a , и b , - так же как в формуле (12).

Установим признаки, по которым будем судить о принадлежности рассчитываемого соединения к тому или иному виду.

В случае, если внешнее усилие рас-

тоже самое, то минимально-необходимая для плотности затяжка дается формулой:

$$P_3 = P_{\text{раб}} \cdot b, \text{ где } b = \frac{c_2}{c_1 + c_2} = 1 - a$$

Для надежного обеспечения плотности соединения в рабочем состоянии мы назначаем затяжку:

$$P_3 = \alpha P_{\text{раб}} \cdot b \dots \dots \dots \quad (30)$$

где α - коэффициент запаса по затяжке 1-го рода.

Плотность соединения не обеспечивается при величине внешнего усилия

$$P_{\text{вн}} > \alpha P_{\text{раб}}$$

При $P_{\text{разр}} > \alpha P_{\text{раб}}$ мы будем иметь неплотно-разрушающееся соединение.

Для в последнем неравенстве обе части на $P_{\text{раб}}$, получим, что для неплотно-разрушающихся болтовых соединений

$$\frac{P_{\text{разр}}}{P_{\text{раб}}} > \alpha \text{ или } P_{\text{вн}} > \alpha P_{\text{раб}}$$

Аналогично, для обеспечения надежной плотности соединения в рабочем состоянии при действии сжимающей внешней силы мы назначаем затяжку:

$$P_3 = \gamma P_{\text{раб}} \cdot a$$

где γ - коэффициент запаса по затяжке 2-го рода.

Повторив рассуждение, подобно пред-

вичущим, получим условия для неплотно-разрушающегося соединения при действии сжимающего усилия в виде:

$$\Pi_p > \gamma^*$$

Сравнивая величину этого двух коэффициентов (α и γ^*) с величиной запаса прочности Π_p и зная направление действия сжимающего усилия (сжимающее или растягивающее), мы всегда сможем определить вид рассматриваемого соединения.

Здесь кроется неопределенность: при проверочном расчете α известно, Π_p надо определить. Конкретный вид формул (28) и (29) для определение Π_p зависят, между тем, от того, что больше: известное α или неизвестное Π_p .

Эта неопределенность - камуциющаяся.

Действительно. Даим соединению

$\sigma = 0$ - оно будет заведомо неплотно-разрушающимся (типы соединений 2, 3 и 4).

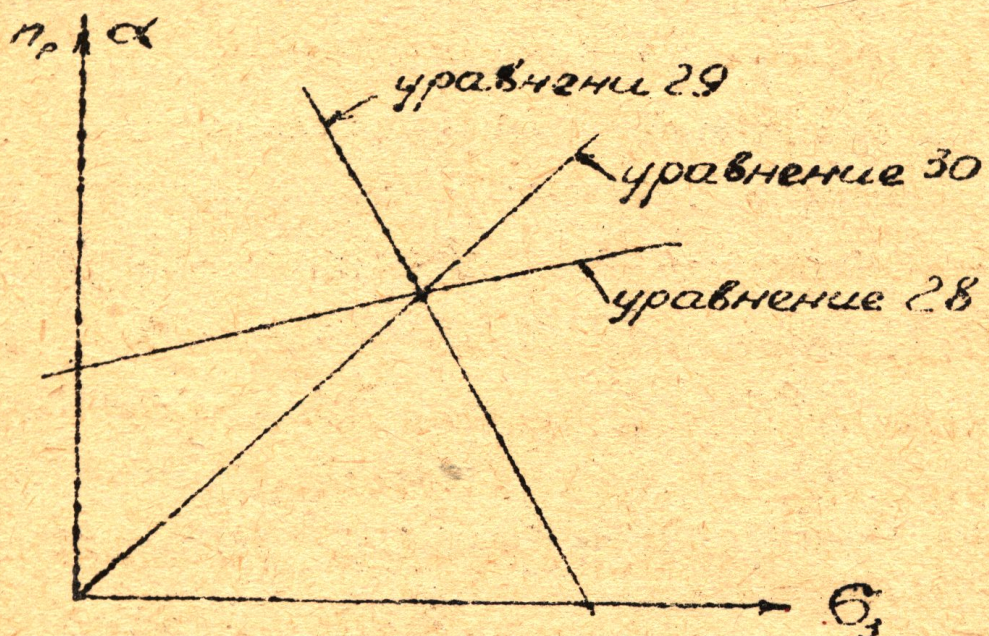
Увеличивая α , что равносильно увеличению σ_3 , мы получим плотно-разрушающееся соединение (типы 1-й и 5-й).

Переход неплотно-разрушающегося соединения (формула 29, $\alpha < \Pi_p$) в плотно-разрушающееся (формула 28, $\alpha > \Pi_p$) произойдет, очевидно при $\alpha = \Pi_p$.

Построив в системе координат (Π_p, σ_3) прямые (28), (29) и прямую $\alpha = f(\sigma_3)$,

которую можно получить из уравнения (30), видим, что она имеет один общую точку, определяющую соотношением $d = \eta_r$.

Указанные соотношения между d и η_r для различных θ_3 можно удовлетворить только при расположении прямых так, как показано на фиг. 3.



фиг. 3.

Рассмотрение фиг. 3 позволяет судить о том, что для определения типа соединения достаточно величины η_r по любой из формул: 28 или 29 и сравнивать полученное η_r с d . При $d > \eta_r$ следует применять формулу 28, при $d < \eta_r$ — формулу 29, уточнив тип соединения по знаку величины X и сравнению (при необходимости) величины коэффициента X с η_r .

VII Учет напряженного кручения.

Принимая эллиптическую зависимость между напряжениями прочности, имеем:

$$\left(\frac{\sigma}{\sigma_0}\right)^2 = \left(\frac{\tau}{\tau_0}\right)^2 + \left(\frac{\tau}{\tau_0}\right)^2 \dots \dots \quad (31)$$

В условиях разрушения получим, т.е.:

$$\left(\frac{\sigma_{max}}{\sigma_0}\right)^2 + \left(\frac{\tau}{\tau_0}\right)^2 = 1$$

Обозначим:

σ_{max} — максимальное разрушающее нормальное напряжение при переменном растяжении без кручения.

$\sigma_{max, rot}$ — максимальное нормальное напряжение при переменном растяжении с кручением.

τ — максимальное напряжение статического кручения при напряжениях растяжения, равных $\sigma_{max, rot}$.

τ_s — предел текучести при кручении.

Тогда в условиях разрушения:

$$\left(\frac{\sigma_{max, rot}}{\sigma_{max, 2}}\right)^2 + \left(\frac{\tau}{\tau_s}\right)^2 = 1$$

откуда:

$$\sigma_{max, rot} = \sigma_{max, 2} \sqrt{1 - \left(\frac{\tau}{\tau_s}\right)^2} = m \cdot \sigma_{max, 2}$$

Чтак, для учета напряжений кручения необходимо определить величину коэффициента μ , которая зависит от величины напряжений кручения τ .

По И.В. Поздолову (2) на болт после затяжки действует крутящий момент, равный:

$$M_{\text{кр}} = P_3 \frac{d_{\text{ср}}}{2} \frac{h + \mu' h_{\text{ср}}}{h_{\text{ср}} - \mu' h},$$

где:

P_3 - усилие затяжки,

$d_{\text{ср}}$ - средний диаметр резьбы.

h - шаг резьбы.

μ' - коэффициент трения в резьбе

По С.В. Серенсену (1)

$$M_{\text{кр}} = P_3 \frac{d_{\text{нар}}}{2} \beta,$$

где:

$d_{\text{нар}}$ - наружный диаметр болта,

β - коэффициент трения в резьбе

(С.В. Серенсеном дается таблица)

По нашему мнению учет трения по И.В. Поздолову более точен, чем по С.В. Серенсену, однако такой бы метод расчета мы не приняли, общей формулой будем:

$$\frac{\tau}{\tau_s} = 2 \tilde{\beta}_3,$$

где $\tilde{\beta}$ зависит от материала болта, системы резьбы, диаметра резьбы, состояния нарезки болта и гайки, смазки

поверхности трения и т.п.

Таким образом:

$$\bar{b}_{\text{такрзр}} = m \bar{b}_{\text{таки}} = \bar{b}_{\text{таки}} \cdot \sqrt{1 - (2\bar{b}_3)^2} \dots (32)$$

Для всех видов соединений мы имеем уравнение (23), которое теперь перепишется в виде:

$$\bar{b}_{\text{такрзр}} = m \frac{N a_1 \bar{b}_3 + M b_i}{(M - a_i)} \dots \dots \dots (33)$$

Решая это уравнение совместно с уравнением:

$$\bar{b}_{\text{такрзр}} F = P_3 + P_{\text{разр}} \cdot a,$$

которое, получено из формул (20) и (2), для 1-го и 5-го родов соединений, получим:

$$P_{\text{разр.}} = \frac{[(mN+1)a_i - M]\bar{b}_3 + Mb_i}{(M - a_i)\frac{a}{F}},$$

откуда

$$n_p = \frac{[(mN+1)a_i - M]\bar{b}_3 + Mb_i}{(M - a_i)a b} \dots \dots \dots (34)$$

Аналогично для 2-го, 3-го и 4-го родов соединений получаем формулу:

$$n_p = \frac{m(N a_1 \bar{b}_3 + M b_i)}{(M - a_i)b} \dots \dots \dots (35)$$

Величины m , N , M , a , b , \bar{b} и a определены ранее, признаки для отнесения соединения к определенному типу остаются также прежними.

Результаты пересчета примеров

С.В. Серенсена сведены в таблицу 3.

таблица 3

	0	1	2	3	4	5	6	7
формула	Серенсен см	(36) (6)	(35) (7)	(35) (8)	(35) (35)	спе- цич. мет.		
№ присп бимса	расч закон	π	π_p	π_p	π_p	π_p	π_p / π_{\max}	
1	нарез. части	2,10	-	-	-	5,87	0,654	
2	цилиндр части	3,45	6,34	5,93	5,02	-	0,94	
3	...	2,90	5,05	7,69	3,91	-	0,905	
4	нарез части	1,92	-	-	-	7,25	0,704	
5	...	1,40	-	-	-	3,85	0,621	

Запасы прочности по
усилениям с учетом напряжений
кручения в примерах С.В. Серенсена.

VIII Оптимальная затяжка болтов и рациональное конструирование болтового соединения.

Если мы проследим течение кривых (34) и (35) в координатах (P_r, b_3) для конкретного болтового соединения, то мы можем найти такую затяжку, которая дает наибольший возможный для данного соединения запас прочности.

Обычно задачу нахождения оптимальной затяжки приходится решать графически, так аналитическое решение сложно. Применяя изложенную методику можно решить так же задачу рационального конструирования болтового соединения. Предлагаемые ранее методы расчета обычно не позволяли решать подобного рода вопросов. Так например, таблица 3 показывает, что принятая в примерах С.В. Серенсена затяжка была далека от оптимальной. Одним лишь изменением затяжки можно было бы значительно увеличить прочность соединения.

К сожалению, имеется очень мало опытных данных, позволяющих построить график $P_r = f(b_3)$. Графиком подобного типа является, например, кривая Тума и Дебуса. Сравнение теоретических кривых $P_r = f(b_3)$ и кривой Тума

и Дебуса показывает, что они имеют одинаковый характер. Расчетных данных и здесь, однако, нельзя получить, так как Тум и Дебус испытывали болты не на усталость, а на ударную нагрузку, кроме того, по оси ординат на их графике отложен не запас прочности, а работа на повторный удар, которую можно приблизительно считать в какой-то степени пропорциональной запасу прочности.

IX Войводы.

1. Изложенный метод является применением к конкретному случаю расчета болтовых соединений на усталость. общих соображений о запасах прочности для деталей, работающих при нагружении несколькими независимыми друг от друга силовыми воздействиями. Необходимость особого расчета в этом случае очевидна хотя бы из рассмотрения результатов пересчета пяти случаев болтовых соединений.

2. Как для единобразия расчета, так и для большей наглядности и более полной характеристики прочности деталей следует и при статическом и при переменном нагружении перейти от расчета и назначения запасов проч-

ности по напряжениям к расчету и назначению запасов прочности по усилиям.

Литература.

(ссылки в тексте даны в квадратных скобках)

1. Серенсен С.В., Тетельбаум И.М. Пригородский А.И. - „Динамическая прочность в машиностроении”. Машиз, 1945г.
2. Подзолов И.В. „Расчет допускаемых напряжений для черных металлов” Оборонгиз, 1947г.
3. Серенсен Р.В. - Энциклопедический справочник. „Машиностроение” т. I книга 2, гл. V, Машиз, 1947г.
4. Биргер И.А. „Запасы прочности при переменных напряжениях” Вестник машиностроения, 1948, №6.
5. Thum und Debis „Dauerhaltbarkeit von Schraubenverbindungen”, Берлин, 1936
6. Pomp und Hempel „Mitteilungen aus KWJ für Eisenforschung” №19, 1936.